

文章编号:1001-9014(2011)06-0566-05

一种基于时频原子特征的雷达辐射源信号识别方法

王希勤, 刘婧瑶, 孟华东*, 刘一民

(清华大学电子工程系, 北京 100084)

摘要: 提出了一种全新的基于时频原子特征的雷达辐射源信号识别方法。训练阶段, 在过完备时频原子库的基础上, 以类区分度为度量, 提取少数最能区分不同类别信号的时频原子作为一组固定的特征; 识别阶段, 以原子和信号的内积的绝对值作为分类器的输入特征, 采用有监督模糊自适应共振网络进行辐射源的自动识别。对5类典型雷达辐射源信号的实验结果表明, 该方法大大减小了识别过程中特征提取的计算量, 输入特征具有类内聚集性强、类间区分度大的特点, 在信噪比大于3 dB时可以获得高的识别正确率。

关键词: 雷达辐射源; 特征提取; 时频原子; 类区分度; 模糊自适应共振网络

中图分类号: TN957; TN971.1 文献标识码: A

A method for radar emitter signal recognition based on time-frequency atom features

WANG Xi-Qin, LIU Jing-Yao, MENG Hua-Dong*, LIU Yi-Min

(Department of Electronic Engineering, Tsinghua University, Beijing 100084, China)

Abstract: A novel method for radar emitter signal recognition based on time-frequency atom feature is presented. During training, based on the over-complete time-frequency atom dictionary, a few atoms which can separate different kinds of signals best are extracted as a set of fixed feature according to the class separability. During testing, the module of inner product between atoms and signals is used as the input feature for the fuzzy ARTMAP classifier, and the radar emitter signals can be recognized automatically. Experimental results of five kinds of typical radar emitter signals show that this method reduces the computational amount of feature extraction during testing obviously, and the input features have strong concentration within classes and large separability between classes. Our method can achieve high recognition accuracy at the SNR larger than 3 dB.

Key words: radar emitters; feature extraction; time-frequency atom; class separability; fuzzy ARTMAP

PACS: 84.40.Xb

引言

各种复杂调制的雷达信号的不断涌现, 使得传统的基于五大外部参数(PA, PW, RF, TOA, DOA)进行辐射源识别的方法严重失效^[1], 因此, 提取信号的脉内细微特征成为信号调制识别的重要依据, 其提取方法主要有分形维数法^[2]、时频分析^[3]、周期谱^[4]等等。这些方法对某几种调制信号分析能力强, 但对其它调制类型信号的分析能力有限, 因此提出了提取大量脉内特征并行处理的方式^[3], 可是这种方法计算量大, 不能满足实时处理的要求。

对于 Mallat 等人及朱明等人提出的原子分解方

法^[5]和时频原子特征的快速提取算法^[5-7]不一定有益于信号分类, 不同类型信号提取的原子可能十分相似。同时, 原子特征虽然简单, 但在识别阶段, 每个待识别的信号仍然首先需要进行原子分解, 这在密集的脉冲流以及庞大的时频原子库的条件下会造成很大的计算负担。基于这两点考虑, 不再沿着对信号进行稀疏表示的思路提取原子特征, 而是利用训练样本提取一些对信号分类最有意义, 最能区分不同类型信号的原子作为一组固定的集合。这样, 在识别阶段只需要将待分类信号与原子集合求内积的绝对值作为输入特征送给适当的分类器, 就可以实现辐射源的自动识别。

收稿日期: 2010-07-23, 修回日期: 2011-04-06

基金项目: 973项目(2010CB731901); 国家自然科学基金(40901157)

作者简介: 王希勤(1968-), 男, 江苏泰州人, 教授, 主要研究方向为雷达信号处理、智能交通系统。

* 通讯作者: E-mail: menghd@tsinghua.edu.cn.

Received date: 2010-07-23, revised date: 2011-04-06

1 基于时频原子的特征提取

关键在于如何构造适于表示信号局部结构的过完备原子库和如何从库中选择适于区分信号的原子.

1.1 超完备时频原子库

1993年,Mallat等人提出了采用经过位移、频率调制和伸缩的Gauss函数来构造时频原子库,称为Gabor原子库^[5].一个三参数的Gabor原子可表示为

$$g_{\gamma}(t) = \frac{1}{\sqrt{s}} g\left(\frac{t-u}{s}\right) e^{j\xi t} , \quad (1)$$

其中, $\gamma = (s, u, \xi)$ 是原子参数,分别表示原子的伸缩尺度,时移因子和频移因子. $g(t)$ 是高斯函数

$$g(t) = 2^{\frac{1}{4}} e^{-\pi t^2} . \quad (2)$$

由于Gauss函数的傅里叶变换仍是Gauss函数,所以Gabor原子的时频域都具有很好的局部聚集性,能有效的表示信号的局部特征.但是由于Gabor原子的频率不随时间变化,导致很难对一些典型的调频信号进行匹配.因此1999年,Bultan^[8]等人考虑了在Gabor原子的基础上增加一维调频参数,而这类具有Gauss包络的线性调频原子也就是后来应用最广泛的Chirplet原子.一个四参数的Chirplet原子可表示为

$$g_{\gamma}(t) = \frac{1}{\sqrt{s}} g\left(\frac{t-u}{s}\right) e^{j(\xi t + \frac{1}{2}ct^2)} , \quad (3)$$

其中, $\gamma = (s, u, \xi, c)$ 是原子参数, c 表示原子的调频率,其他参数意义和Gabor原子相同.通过对Chirplet原子的四个参数进行离散,就可以构造出过完备的时频原子库.经证明^[5],下面的离散方法是近似最优的离散方法:

$$\gamma = (a^j, pa^j \Delta u, ka^{-j} \Delta \xi, la^{-2j} \Delta c) , \quad (4)$$

其中, $a = 2$, $\Delta u = \frac{1}{2}$, $\Delta \xi = \pi$, $\Delta c = \pi$,参数取值范围为 $0 < j \leq \log_2 N$, $0 \leq p \leq N 2^{-j+1}$, $0 \leq k < 2^{j+1}$, $0 \leq l < 2^{j+1}$, $(j, p, k, l) \in \mathbb{Z}^4$.

1.2 基于类区分度的原子提取

1994年,Saito^[9]等人提出local discriminant basis(LDB)方法提取标准正交小波包进行信号分类.1995年,Donoho^[10]等人提出相似的discriminant pursuit(DP)方法提取时频原子.1997年,Jiang^[11]等人将这些方法应用于语音信号识别.将这些方法应用到雷达辐射源信号识别上,并验证其性能.这些方法本质都是用Fisher类区分度 m 来度量不同类型信号之间的区分程度.假设有 $l=1, \dots, L$ 类信号,辐

射源信号 $\{x_i^{(l)}\}_{i=1}^{N_l}$ 代表属于第 l 类的训练样本集,对Chirplet原子库中的任何一个原子 g_{γ} ,定义

$$p_{\gamma}^{(l)}(i) = |\langle x_i^{(l)}, g_{\gamma} \rangle| \\ l = 1, \dots, L, \quad i = 1, \dots, N_l , \quad (5)$$

代表该原子与信号的内积的绝对值,也就是用于信号识别的特征.那么,对应任何一个原子 g_{γ} 的 L 个特征序列 $\{p_{\gamma}^{(1)}(i)\}_i, \dots, \{p_{\gamma}^{(L)}(i)\}_i$,Fisher类区分度可定义为

$$m[\{p_{\gamma}^{(l)}\}_{l=1}^L] = \\ \frac{\sum_{l=1}^L \pi_l (\text{mean}_{\gamma}^{(l)}(i) - \text{mean}_{\gamma}(\text{mean}_{\gamma}^{(l)}(i)))^2}{\sum_{l=1}^L \pi_l \text{var}_{\gamma}^{(l)}(i)} , \quad (6)$$

其中, mean_{γ} 表示对属于第 l 类的所有 $p_{\gamma}^{(l)}(i)$ 求均值, mean_{γ} 表示对所有类别的 $\text{mean}_{\gamma}^{(l)}(i)$ 再求均值, var_{γ} 表示对属于第 l 类的所有 $p_{\gamma}^{(l)}(i)$ 求方差, π_l 是 $\{p_{\gamma}^{(l)}(i)\}_i$ 的先验概率.

依据Fisher类区分度从原子库中选择有效的原子 g_{γ} 去形成分类特征 $p_{\gamma}^{(l)}(i)$.尽管这个方法与原来的方法具有完全不同的原子特性,仍然被称为LDB方法,步骤如下:

步骤1 对Chirplet原子库中的所有原子 g_{γ} 计算Fisher类区分度 $m[\{p_{\gamma}^{(l)}\}_{l=1}^L]$.

步骤2 将 $m[\{p_{\gamma}^{(l)}\}_{l=1}^L]$ 按照从大到小的顺序排序,同时更新原子标号 γ 的顺序.

步骤3 初始化.提取原子的标号集合 $\Omega = \phi$, $j = 1$.

步骤4 将标号 γ_1 放到标号集合 Ω 中.

步骤5 $j = j + 1$.计算原子 g_{γ_j} 与集合中任一原子 $\{g_{\gamma_k}, \gamma_k \in \Omega\}$ 的相关性:

$$c_{\gamma_j, \gamma_k} = \frac{|\langle g_{\gamma_j}, g_{\gamma_k} \rangle|}{\|g_{\gamma_j}\| \|g_{\gamma_k}\|} , \quad \gamma_k \in \Omega . \quad (7)$$

如果 $\forall \gamma_k \in \Omega$,都满足 $c_{\gamma_j, \gamma_k} \leq Th$,将标号 γ_j 放到标号集合 Ω 中.否则放弃原子 γ_j .

步骤6 判断标号集合 Ω 中的原子个数是否达到预先设定的特征数目 K ,如果是,算法终止,否则,转至步骤5.

最后,每个待分类信号 $x_i^{(l)}$ 与标号集合中的所有原子 $\{g_{\gamma}, \gamma \in \Omega\}$ 形成的 $p_{\gamma}^{(l)}(i)$ 就是信号对应的特征.该算法的宗旨就是选择那些对应类区分度较大的原子,同时要求这些原子之间相关性较小.

2 模糊自适应共振网络

Fuzzy ARTMAP网络是1992年由Carpenter^[12]

等人提出的基于模糊逻辑和自适应共振理论设计的分类器。它是一类自组织的神经网络，可以同时最小化预测误差和最大化泛化能力。此外，由于它具有快速稳定的在线增量学习的能力，而且不会对训练样本过匹配，因而在模式识别领域中得到了广泛的应用。用这种分类器进行辐射源信号类型识别，结构见图 1。Fuzzy ARTMAP 网络是通过把 ART 无监督网络与映射域相结合得到的。ART 网络包括两个完全相连的结点层：输入层 F_1 和竞争层 F_2 ，每一个辐射源信号与 K 个提取原子的内积的绝对值作为输入层。每一个 F_2 的结点代表一个学习原型向量 w_j 的识别类型。 F_2 层与一个具有 L 个结点的映射域 F^{ab} 相连接， L 是输出的分类数目。

在训练阶段，分类器分四个部分执行有监督学习：原型选择、警戒检验、分类预测和参数学习。在原型选择阶段，要计算输入特征 A 与每个原型 ω_j 之间的选择函数：

$$T_j = \frac{|A \wedge w_j|}{\alpha + |w_j|} , \quad (8)$$

其中 $|\cdot|$ 是规范算子， $|w_j| = \sum_{i=1}^M |w_{ij}|$ ， \wedge 是模糊的与(AND)运算符， $(A \wedge w_j)_i = \min(A_i, w_{ij})$ ， α 是选择参数。对应最大的选择函数的原型 ω_j 将被激活。这时，警戒检验要比较被激活的原型与输入特征的匹配程度：

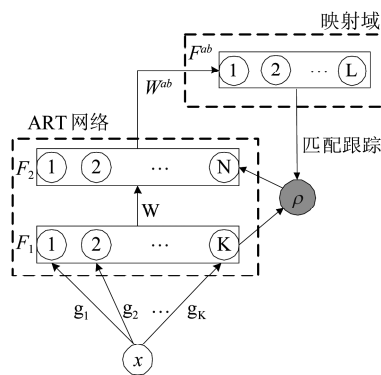


图 1 Fuzzy ARTMAP 网络结构

Fig. 1 The architecture of the fuzzy ARTMAP network

表 1 LDB 算法提取的前 15 个时频原子参数

Table 1 The parameters of the first 15 atoms extracted by the LDB method

Atom	1	2	3	4	5	6	7	8	9	10	11	12	13	14	15
s	128	64	256	64	256	256	256	64	32	128	32	128	32	16	64
u	36	88	115	131	154	140	233	63	21	128	108	57	240	219	211
x	0.2	0.8	0.9	0.1	0.5	0.92	0.1	0.23	0.41	0.12	0.2	0.2	0.98	0.85	0.11
$c(e-4)$	7.81	0	0	16	0	0	0.39	0.39	16	7.81	7.81	7.81	0	7.81	0.39

$$\frac{|A \wedge w_j|}{|A|} \geq \rho . \quad (9)$$

满足警戒检验的原型将与输入实现共振。否则，网络抑制 F_2 层的激活节点直到网络中出现了下一个可以通过警戒检验的结点 J 。如果最终证明这样一个结点不存在，则一个新的 F_2 结点将被激活。接下来，在分类预测阶段， F_2 节点将通过二值权值 W^{ab} 激活对应的映射域中的类型。如果类型预测错误，那么匹配跟踪机制将提高警戒参数 ρ ，从而诱导一个新的 F_2 节点被激活，直到正确预测为止。最后，在参数学习阶段需要更新 F_2 节点的原型 ω_j ：

$$\omega_j^{\text{new}} = \beta(A \wedge \omega_j^{\text{old}}) + (1 - \beta)\omega_j^{\text{old}} , \quad (10)$$

其中 $\beta \in (0, 1]$ 是确定的学习率参数， $\beta = 1$ 对应着快学习。一旦权重 W 开始对训练集模式收敛，fuzzy ARTMAP 就可以通过原型选择和分类预测来预测未知的信号类型。在该网络中，分类器的初始参数 α 是一个任意小的参数， α 的选取不会影响分类性能；参数 β 代表着固定的学习速率， $\beta = 1$ 代表快学习，实验证明，快学习并不会影响学习的性能；参数 ρ 表示警戒参数，用于判断所选类型与输入信号之间的匹配程度，在保证分类正确率的前提下，为了尽量减少训练所需的时间， $\rho = 0.7$ 是个最佳选择。

3 仿真实验与结果分析

为了验证算法的有效性，针对常规脉冲(CP)、线性调频信号(LFM)、频率编码信号(5位 Costas)、二项码信号(5位 Barker 码)、多项码信号(9位 Frank 码)5类典型的雷达辐射源信号进行基于时频原子特征的辐射源信号自动识别。每个信号的脉冲宽度均为 2.56 ms，采样率为 100 MHz，单频信号频率为 10 MHz，线性调频信号的频率范围为 10 ~ 50 MHz，频率编码信号的单位频率为 10 MHz，相位编码信号的载频为 10 MHz。

在特征提取阶段，假设 5 类信号每类各有 100 个样本，信噪比在 0 ~ 15 dB 之间随机选取，采用 LDB 算法提取出的前 15 个时频原子的参数见表 1。用前两个提取出来的原子与辐射源信号的内积的绝

对值得到的特征的分布见图 2, 目的为了简单直观地看出所提取原子特征的性能. 可以看出特征的类内聚集性很强, 类间分离度较大. 单频信号、线性调频信号和频率编码信号的特征参数基本不存在重叠, 但二项码信号和多项码信号由于时频特性都很相像, 所以参数重叠相对严重, 需要更多的原子特征来帮助区分.

在辐射源信号识别阶段, 每类信号在 $-3 \sim 15$ dB 的信噪比范围内, 每间隔 1.5 dB 随机产生 1000 个样本, 组成总数为 5000 的样本集, 训练集由其中随机选取的 50 个样本组成. 分类器的初始参数设为 $\alpha = 0.005$, $\beta = 1$, $\rho = 0.7$, 时频原子的相关性门限设为 $Th = 0.7$. 每次进行 100 次 Monte Carlo 实验. 利用 $K = 40$ 个时频原子特征, 在统计意义上得到的总信号识别正确率随信噪比的变化, 同时用文献[6]的方法提取的原子和随机选取的原子的分类结果作为对比见图 3.

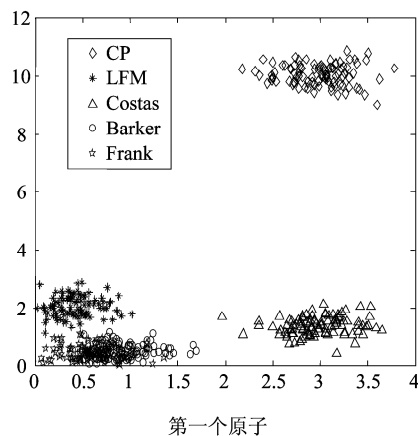


图 2 前两个提取的原子对应的特征分布

Fig. 2 The feature distribution of the first two extracted atoms

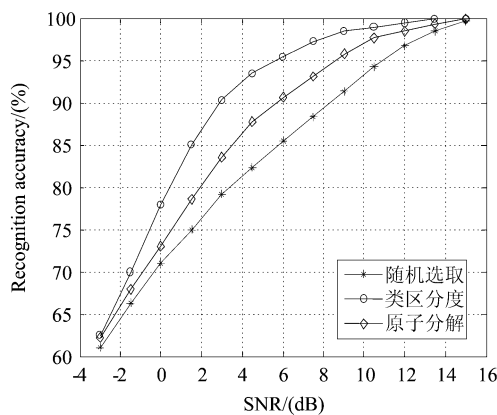


图 3 识别正确率随信噪比的变化

Fig. 3 Recognition accuracy vs. SNR

由图 3 可见, 在低信噪比下(小于 0 dB), 基于 LDB 方法选取时频原子得到的分类性能相比其他两个方法并没有明显的优势. 也就是, 任意给定一系列原子与信号的内积的绝对值作为分类器的输入特征, 均可以在一定程度上区分不同类型的信号. 当信噪比提高时(大于 3 dB), 基于 LDB 方法得到的识别正确率能保持在 90% 以上, 明显优于另两个方法. 这是因为文献[6]提取原子特征时主要基于原子分解的思想, 选择那些最能代表信号主要成分的原子作为特征, 由于传统的基于匹配追踪(MP)的原子分解算法会出现过匹配而且效率较低的问题, 所以文献[6]采取新方法降低 MP 搜索过程中的复杂度, 但其宗旨仍是选择最有效且少数的特征来表示信号. 由于很多复杂调制的辐射源信号在时域非常相似, 比如 P1 码和 Costas 码, 而且在有噪声时, 信号的结构也会出现一定程度的模糊. 因此代表信号主要成分的原子也会非常相似, 所以基于这些时频原子特征进行辐射源信号识别的正确率不会太高. 文中算法提取原子特征的宗旨就是使得不同信号的区分度最大, 提取原子更多的是用于表示信号之间的些微差别, 所以提取的原子特征能获得更好的分类效果.

为了考察使分类器最有效而需要的原子特征数目, 给出了在 3 dB 信噪比下基于两种原子选取方法的识别正确率随原子特征数目的变化, 见图 4. 由图可见, 对于随机选取的原子, 原子个数对分类正确率影响很小, 而基于 LDB 的原子提取算法, 前面提取出的原子对应的类区分度都比较大, 也就是对分类更有意义, 而且原子之间的相关性较低. 因此, 分类正确率随着原子个数的增加是单调递增的, 尤其在开始阶段, 分类正确率随着个数的增加陡增, 当原子个数达到一定值以后(大于 50 个), 分类正确率缓慢增加, 逐渐趋于收敛.

不同特征提取算法在识别阶段的计算量比较如表 2 所示. 可以看出类区分度方法由于其特征在训练阶段已经离线地提取并固定不变, 在识别阶段只需要计算内积, 因此在识别阶段其特征提取的运算时间大大减小, 要比原子分解和脉内特征提取的方法小得多, 大概是 10^{-3} 量级. 这也是所提算法相比传统算法最本质的改进. 对实时雷达辐射源识别至关重要.

表 2 识别阶段不同算法的特征提取计算量

Table 2 Computational amount of different methods during testing

特征提取	类区分度	原子分解	脉内提取
计算时间/s	0.00042	0.493	0.349

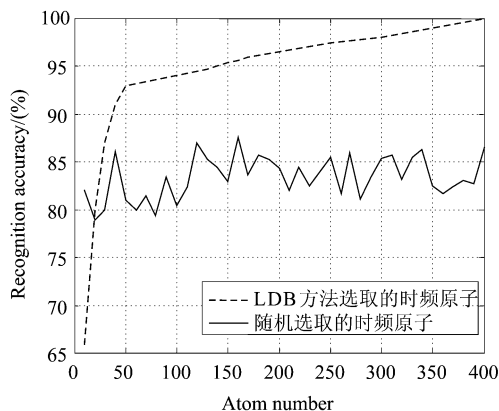


图4 3 dB信噪比下识别正确率随原子特征数目的变化
Fig. 4 Recognition accuracy vs. atom number at SNR of 3 dB

4 结论

提出了一种新的基于时频原子特征进行辐射源信号识别的方法。与传统的基于匹配追踪提取最能表示信号主要成分的时频原子的方法不同,采用的特征选择方法是基于类区分度准则从过完备的时频原子库中选取那些最能区分不同类信号的时频原子,并将原子与信号的内积的绝对值作为 fuzzy ARTMAP分类器的输入特征,实现辐射源的自动识别。实验结果证明了该方法提取的原子特征类内聚集性很强,类间分离度较大。在3 dB信噪比以上可以实现较高的识别正确率,且该算法在识别阶段的计算量远远小于其他算法,对于实时分类系统非常有意义。

REFERENCES

- [1] LI He-Sheng, HAN Yu, CAI Ying-Wu, et al. Overview of the crucial technology research for radar signal sorting[J]. *Systems Engineering and Electronics*(李合生, 韩宇, 蔡英)

(上接 565 页)

REFERENCES

- [1] Itti L, Koch C. Computational modeling of visual attention [J]. *Nature Reviews Neuroscience*, 2001, 2(3): 194–230.
[2] Stentiford F. An attention based similarity measure with application to content-based information retrieval[C]. In *Proceedings of the Storage and Retrieval for Media Databases Conference*, 2003: 221–232.
[3] Parkhurst D, Law K, Niebur E. Modelling the role of salience in the allocation of overt visual attention[J]. *Vision Research*, 2002, 42(1): 107–123.
[4] Vinogradova T, Burl M, Mjolness E. Training of a crater detection algorithm for Mars crater imagery[J]. *Proceeding of IEEE Aerospace*, 2002, 7: 3201–3211.
[5] Bue B. D, Stepinski T. F. Machine detection of martian impact craters from digital topography data[J]. *IEEE Trans-*

武, 等. 雷达信号分选关键技术研究综述. *系统工程与电子技术*, 2005, 27(12): 2035–2040.

- [2] ZHANG Ge-Xiang, HU Lai-Zhao, JIN Wei-Dong. Intrapulse feature analysis of radar emitter signals[J]. *J. Infrared Millim. Waves*(张葛祥, 胡来招, 金炜东. 雷达辐射源信号脉内特征分析. *红外与毫米波学报*), 2004, 23(6): 476–480.
[3] Lunden J, Koivunen V. Automatic Radar Waveform Recognition[J]. *IEEE Journal of Selected Topic in Signal Processing*, 2007, 1(1): 124–136.
[4] Pace P E. Detecting and classifying low probability of intercept radar. *norwood*[M]. MA: Artech House, 2004.
[5] Mallat S, Zhang Z. Matching pursuit with time-frequency dictionaries[J]. *IEEE Trans. on Signal Processing*, 1993, 41(12): 3397–3415.
[6] ZHU Ming, JIN Wei-Dong, PU Yun-Wei, et al. Feature extraction of radar emitter signals based on Gaussian chirplet atoms[J]. *J. Infrared Millim. Waves*(朱明, 金炜东, 普运伟, 等. 基于 Chirplet 原子的雷达辐射源信号特征提取. *红外与毫米波学报*), 2007, 26(4): 302–306.
[7] FANG Chun, ZHANG Ge-Xiang, LIU Hong-Wen, et al. Application of fast time frequency atom decomposition algorithm to radar emitter signals[J]. *Modern Radar*(方纯, 张葛祥, 刘红文, 等. 快速 TFAD 在雷达辐射源信号中的应用. *现代雷达*), 2009, 31(10): 64–69.
[8] Bultan A. A four-parameter atomic decomposition of chirplets[J]. *IEEE Trans. on Signal Processing*, 1999, 57(3): 731–745.
[9] Coifman R, Saito N. Constructions for local orthonormal bases for classification and regression[J]. *C. R. Acad. Sci. Paris*. 1994, 319(1): 191–196.
[10] Buckheit J, Donoho D. Improved linear discrimination using time-frequency dictionaries[J]. *Proc. SPIE*, 1995, 2569: 540–551.
[11] Jiang Q, Goh S, Lin Z, Local discriminant time-frequency atoms for signal classification[J]. *Signal Processing*, 1999, 72(1): 47–52.
[12] Carpenter G A, Grossberg S. Fuzzy ARTMAP: a neural network architecture for incremental supervised learning of analog multidimensional maps[J]. *IEEE Transactions on Neural Networks*, 1992, 3(5): 698–713.
- action on Geoscience and Remote Sensing, 2007, 45(1): 265–274.
- [6] Kim J R, Muller J P, Gasselt S, et al. Automated crater detection a new tool for Mars cartography and chronology [J]. *Photogrammetric Engineering and Remote Sensing*, 2005, 71: 1205–1217.
[7] Barata T, Alves E I, Saraiva J, et al. Automatic recognition of impact craters on the surface of Mars[J]. *Lecture Notes in Computer Science*, 2004, 3212: 489–496.
[8] Michael G. Coordinate registration by automated crater recognition[J]. *Planetary and Space Science*, 2003, 51: 563–568.
[9] Bay S H, Tuytelaars T, Gool L V. SURF: Speeded up robust features[C]. In *European Conference on Computer Vision*, 2006: 404–417.
[10] <http://moon.bao.ac.cn>